

# Ein gleichmäßig exponentiell stabiles ADI-Verfahren für die Maxwell-Gleichungen

SFB Workshop (Annweiler, 10.-12. Oktober 2018)

Konstantin Zerulla

Institut für Analysis (KIT)



CRC 1173

Wave  
phenomena

- Motivation: Was ist exponentielle Stabilität?

- Motivation: Was ist exponentielle Stabilität?
- Kurze Einführung in ADI-Verfahren

- Motivation: Was ist exponentielle Stabilität?
- Kurze Einführung in ADI-Verfahren
- Formulierung zweier modifizierter ADI-Verfahren

- Motivation: Was ist exponentielle Stabilität?
- Kurze Einführung in ADI-Verfahren
- Formulierung zweier modifizierter ADI-Verfahren
- Hauptresultate

- Motivation: Was ist exponentielle Stabilität?
- Kurze Einführung in ADI-Verfahren
- Formulierung zweier modifizierter ADI-Verfahren
- Hauptresultate
  - Gleichmäßige exponentielle Stabilität

- Motivation: Was ist exponentielle Stabilität?
- Kurze Einführung in ADI-Verfahren
- Formulierung zweier modifizierter ADI-Verfahren
- Hauptresultate
  - Gleichmäßige exponentielle Stabilität
  - Konvergenzresultat für die Zeitdiskretisierung

- **Beispiel:** Betrachte auf  $L^2(0, 1)$  das 1-d Randwertproblem

$$(W) \quad \begin{cases} \partial_t^2 w(x, t) - \partial_x^2 w(x, t) + \mathbb{1}_{(a,b)}(x) \partial_t w(x, t) = 0 & \text{auf } (0, 1) \times (0, \infty), \\ w(0, t) = w(1, t) = 0 & \text{für } t > 0, \\ w(x, 0) = w_0, \quad \partial_t w(x, 0) = w_1 & \text{für } x \in (0, 1), \end{cases}$$

mit  $0 < a < b < 1$ ,  $w_0 \in H^2(0, 1) \cap H_0^1(0, 1)$  und  $w_1 \in H_0^1(0, 1)$ .



- **Beispiel:** Betrachte auf  $L^2(0, 1)$  das 1-d Randwertproblem

$$(W) \quad \begin{cases} \partial_t^2 w(x, t) - \partial_x^2 w(x, t) + \mathbb{1}_{(a,b)}(x) \partial_t w(x, t) = 0 & \text{auf } (0, 1) \times (0, \infty), \\ w(0, t) = w(1, t) = 0 & \text{für } t > 0, \\ w(x, 0) = w_0, \quad \partial_t w(x, 0) = w_1 & \text{für } x \in (0, 1), \end{cases}$$

mit  $0 < a < b < 1$ ,  $w_0 \in H^2(0, 1) \cap H_0^1(0, 1)$  und  $w_1 \in H_0^1(0, 1)$ .

- Das RWP ist **exponentiell stabil**, d.h.  $\exists C, \alpha > 0$  mit

$$(1) \quad \|\partial_t w(\cdot, t)\|_{L^2}^2 + \|w(\cdot, t)\|_{H^1}^2 \leq C e^{-\alpha t} \left( \|w_1\|_{L^2}^2 + \|w_0\|_{H^1}^2 \right)$$

$$\forall t \geq 0, \quad w_0 \in H^2(0, 1) \cap H_0^1(0, 1), \quad w_1 \in H_0^1(0, 1).$$

- **Beispiel:** Betrachte auf  $L^2(0, 1)$  das 1-d Randwertproblem

$$(W) \quad \begin{cases} \partial_t^2 w(x, t) - \partial_x^2 w(x, t) + \mathbb{1}_{(a,b)}(x) \partial_t w(x, t) = 0 & \text{auf } (0, 1) \times (0, \infty), \\ w(0, t) = w(1, t) = 0 & \text{für } t > 0, \\ w(x, 0) = w_0, \quad \partial_t w(x, 0) = w_1 & \text{für } x \in (0, 1), \end{cases}$$

mit  $0 < a < b < 1$ ,  $w_0 \in H^2(0, 1) \cap H_0^1(0, 1)$  und  $w_1 \in H_0^1(0, 1)$ .

- Das RWP ist **exponentiell stabil**, d.h.  $\exists C, \alpha > 0$  mit

$$(1) \quad \|\partial_t w(\cdot, t)\|_{L^2}^2 + \|w(\cdot, t)\|_{H^1}^2 \leq C e^{-\alpha t} \left( \|w_1\|_{L^2}^2 + \|w_0\|_{H^1}^2 \right)$$

$\forall t \geq 0$ ,  $w_0 \in H^2(0, 1) \cap H_0^1(0, 1)$ ,  $w_1 \in H_0^1(0, 1)$ .

- Diskretisiere (W) räumlich mit finiten Differenzen  $\rightsquigarrow$  Approximation  $w_h$ .
  - **Problem:**  $w_h$  erfüllt (1) nicht gleichmäßig.<sup>1</sup>

---

<sup>1</sup>Tébou, Zuazua 2003.

- **Beispiel:** Betrachte auf  $L^2(0, 1)$  das 1-d Randwertproblem

$$(W) \quad \begin{cases} \partial_t^2 w(x, t) - \partial_x^2 w(x, t) + \mathbb{1}_{(a,b)}(x) \partial_t w(x, t) = 0 & \text{auf } (0, 1) \times (0, \infty), \\ w(0, t) = w(1, t) = 0 & \text{für } t > 0, \\ w(x, 0) = w_0, \quad \partial_t w(x, 0) = w_1 & \text{für } x \in (0, 1), \end{cases}$$

mit  $0 < a < b < 1$ ,  $w_0 \in H^2(0, 1) \cap H_0^1(0, 1)$  und  $w_1 \in H_0^1(0, 1)$ .

- Das RWP ist **exponentiell stabil**, d.h.  $\exists C, \alpha > 0$  mit

$$(1) \quad \|\partial_t w(\cdot, t)\|_{L^2}^2 + \|w(\cdot, t)\|_{H^1}^2 \leq C e^{-\alpha t} \left( \|w_1\|_{L^2}^2 + \|w_0\|_{H^1}^2 \right)$$

$\forall t \geq 0$ ,  $w_0 \in H^2(0, 1) \cap H_0^1(0, 1)$ ,  $w_1 \in H_0^1(0, 1)$ .

- Diskretisiere (W) räumlich mit finiten Differenzen  $\rightsquigarrow$  Approximation  $w_h$ .
  - **Problem:**  $w_h$  erfüllt (1) nicht gleichmäßig.<sup>1</sup>

- Ähnliche Effekte treten für Zeitdiskretisierungen auf.<sup>2</sup>

---

<sup>1</sup>Tébou, Zuazua 2003.

<sup>2</sup>Zhang, Zheng, Zuazua 2009.

- Betrachte lineare isotrope Maxwell-Gleichungen auf  $Q = (0, 1)^3$

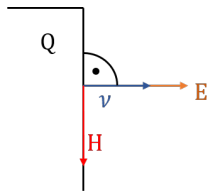
$$\partial_t \mathbf{E} = \frac{1}{\varepsilon} \operatorname{curl} \mathbf{H} \quad \text{in } Q \times [0, \infty),$$

$$\partial_t \mathbf{H} = -\frac{1}{\mu} \operatorname{curl} \mathbf{E} \quad \text{in } Q \times [0, \infty),$$

$$\operatorname{div}(\mu \mathbf{H}) = 0 \quad \text{in } Q \times [0, \infty),$$

$$\mathbf{E} \times \nu = 0, \quad \mu \mathbf{H} \cdot \nu = 0 \quad \text{auf } \partial Q \times [0, \infty),$$

$$\mathbf{E}(0) = \mathbf{E}_0, \quad \mathbf{H}(0) = \mathbf{H}_0 \quad \text{in } Q.$$



- $\mathbf{E}(x, t) \in \mathbb{R}^3$  bezeichnet das elektrische Feld,  $\mathbf{H}(x, t) \in \mathbb{R}^3$  das magnetische Feld.

- Betrachte lineare isotrope Maxwell-Gleichungen auf  $Q = (0, 1)^3$

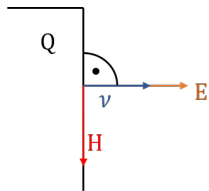
$$\partial_t \mathbf{E} = \frac{1}{\varepsilon} \operatorname{curl} \mathbf{H} - \frac{\sigma}{\varepsilon} \mathbf{E} \quad \text{in } Q \times [0, \infty),$$

$$\partial_t \mathbf{H} = -\frac{1}{\mu} \operatorname{curl} \mathbf{E} \quad \text{in } Q \times [0, \infty),$$

$$\operatorname{div}(\mu \mathbf{H}) = 0 \quad \text{in } Q \times [0, \infty),$$

$$\mathbf{E} \times \nu = 0, \quad \mu \mathbf{H} \cdot \nu = 0 \quad \text{auf } \partial Q \times [0, \infty),$$

$$\mathbf{E}(0) = \mathbf{E}_0, \quad \mathbf{H}(0) = \mathbf{H}_0 \quad \text{in } Q.$$



- $\mathbf{E}(x, t) \in \mathbb{R}^3$  bezeichnet das elektrische Feld,  $\mathbf{H}(x, t) \in \mathbb{R}^3$  das magnetische Feld.

- Betrachte lineare isotrope Maxwell-Gleichungen auf  $Q = (0, 1)^3$

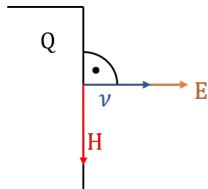
$$\partial_t \mathbf{E} = \frac{1}{\varepsilon} \operatorname{curl} \mathbf{H} - \frac{\sigma}{\varepsilon} \mathbf{E} \quad \text{in } Q \times [0, \infty),$$

$$\partial_t \mathbf{H} = -\frac{1}{\mu} \operatorname{curl} \mathbf{E} \quad \text{in } Q \times [0, \infty),$$

$$\operatorname{div}(\mu \mathbf{H}) = 0 \quad \text{in } Q \times [0, \infty),$$

$$\mathbf{E} \times \nu = 0, \quad \mu \mathbf{H} \cdot \nu = 0 \quad \text{auf } \partial Q \times [0, \infty),$$

$$\mathbf{E}(0) = \mathbf{E}_0, \quad \mathbf{H}(0) = \mathbf{H}_0 \quad \text{in } Q.$$



- $\mathbf{E}(x, t) \in \mathbb{R}^3$  bezeichnet das elektrische Feld,  $\mathbf{H}(x, t) \in \mathbb{R}^3$  das magnetische Feld.
- Anfangswerte:  $(\mathbf{E}_0, \mathbf{H}_0) \in H_0(\operatorname{curl}, Q) \times H(\operatorname{curl}, Q)$ , wobei
$$H(\operatorname{curl}, Q) := \{\mathbf{H} \in L^2(Q)^3 \mid \operatorname{curl} \mathbf{H} \in L^2(Q)^3\}$$

- Betrachte lineare isotrope Maxwell-Gleichungen auf  $Q = (0, 1)^3$

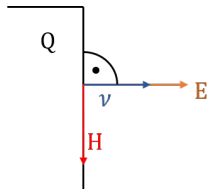
$$\partial_t \mathbf{E} = \frac{1}{\varepsilon} \operatorname{curl} \mathbf{H} - \frac{\sigma}{\varepsilon} \mathbf{E} \quad \text{in } Q \times [0, \infty),$$

$$\partial_t \mathbf{H} = -\frac{1}{\mu} \operatorname{curl} \mathbf{E} \quad \text{in } Q \times [0, \infty),$$

$$\operatorname{div}(\mu \mathbf{H}) = 0 \quad \text{in } Q \times [0, \infty),$$

$$\mathbf{E} \times \nu = 0, \quad \mu \mathbf{H} \cdot \nu = 0 \quad \text{auf } \partial Q \times [0, \infty),$$

$$\mathbf{E}(0) = \mathbf{E}_0, \quad \mathbf{H}(0) = \mathbf{H}_0 \quad \text{in } Q.$$



- $\mathbf{E}(x, t) \in \mathbb{R}^3$  bezeichnet das elektrische Feld,  $\mathbf{H}(x, t) \in \mathbb{R}^3$  das magnetische Feld.
- Anfangswerte:  $(\mathbf{E}_0, \mathbf{H}_0) \in H_0(\operatorname{curl}, Q) \times H(\operatorname{curl}, Q)$  mit  $\operatorname{div}(\varepsilon \mathbf{E}_0) \in L^2(Q)$ ,  $\operatorname{div}(\mu \mathbf{H}_0) = 0$  in  $Q$ ,  $\mu \mathbf{H}_0 \cdot \nu = 0$  auf  $\partial Q$ .

- Betrachte lineare isotrope Maxwell-Gleichungen auf  $Q = (0, 1)^3$

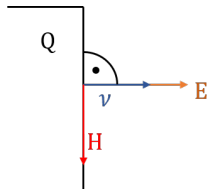
$$\partial_t \mathbf{E} = \frac{1}{\varepsilon} \operatorname{curl} \mathbf{H} - \frac{\sigma}{\varepsilon} \mathbf{E} \quad \text{in } Q \times [0, \infty),$$

$$\partial_t \mathbf{H} = -\frac{1}{\mu} \operatorname{curl} \mathbf{E} \quad \text{in } Q \times [0, \infty),$$

$$\operatorname{div}(\mu \mathbf{H}) = 0 \quad \text{in } Q \times [0, \infty),$$

$$\mathbf{E} \times \nu = 0, \quad \mu \mathbf{H} \cdot \nu = 0 \quad \text{auf } \partial Q \times [0, \infty),$$

$$\mathbf{E}(0) = \mathbf{E}_0, \quad \mathbf{H}(0) = \mathbf{H}_0 \quad \text{in } Q.$$



- $\mathbf{E}(x, t) \in \mathbb{R}^3$  bezeichnet das elektrische Feld,  $\mathbf{H}(x, t) \in \mathbb{R}^3$  das magnetische Feld.
- Anfangswerte:  $(\mathbf{E}_0, \mathbf{H}_0) \in H_0(\operatorname{curl}, Q) \times H(\operatorname{curl}, Q)$  mit  $\operatorname{div}(\varepsilon \mathbf{E}_0) \in L^2(Q)$ ,  $\operatorname{div}(\mu \mathbf{H}_0) = 0$  in  $Q$ ,  $\mu \mathbf{H}_0 \cdot \nu = 0$  auf  $\partial Q$ .
- Regularität:  $\varepsilon, \sigma \in W^{1, \infty}(Q)$ ,  $\mu \in W^{1, \infty}(Q) \cap W^{2, 3}(Q)$  mit  $\varepsilon, \mu, \sigma \geq \delta > 0$ .



- Das Maxwell-System ist **exponentiell stabil**, d.h. die Energie

$$\mathcal{E} \left[ \begin{pmatrix} \mathbf{E} \\ \mathbf{H} \end{pmatrix} \right] := \frac{1}{2} \int_Q \varepsilon(x) |\mathbf{E}(x)|^2 + \mu(x) |\mathbf{H}(x)|^2 dx$$

erfüllt mit gleichmäßigen Konstanten  $C, \beta > 0$

$$(2) \quad \mathcal{E} \left[ \begin{pmatrix} \mathbf{E}(t) \\ \mathbf{H}(t) \end{pmatrix} \right] \leq C e^{-\beta t} \mathcal{E} \left[ \begin{pmatrix} \mathbf{E}_0 \\ \mathbf{H}_0 \end{pmatrix} \right], \quad t \geq 0,$$

für alle Anfangsdaten  $(\mathbf{E}_0, \mathbf{H}_0)$ .<sup>3</sup>

---

<sup>3</sup>Eller 2018 (*Preprint*). Siehe auch Nicaise, Pignotti 2005; Phung 2000.

- Das Maxwell-System ist **exponentiell stabil**, d.h. die Energie

$$\mathcal{E} \left[ \begin{pmatrix} \mathbf{E} \\ \mathbf{H} \end{pmatrix} \right] := \frac{1}{2} \int_Q \varepsilon(x) |\mathbf{E}(x)|^2 + \mu(x) |\mathbf{H}(x)|^2 dx$$

erfüllt mit gleichmäßigen Konstanten  $C, \beta > 0$

$$(2) \quad \mathcal{E} \left[ \begin{pmatrix} \mathbf{E}(t) \\ \mathbf{H}(t) \end{pmatrix} \right] \leq C e^{-\beta t} \mathcal{E} \left[ \begin{pmatrix} \mathbf{E}_0 \\ \mathbf{H}_0 \end{pmatrix} \right], \quad t \geq 0,$$

für alle Anfangsdaten  $(\mathbf{E}_0, \mathbf{H}_0)$ .<sup>3</sup>

- Wesentlich für (2) ist eine Beobachtungsungleichung im ungedämpften Fall ( $\sigma = 0$ ):  $\exists C_0 > 0$  mit

$$\mathcal{E} \left[ \begin{pmatrix} \mathbf{E}_0 \\ \mathbf{H}_0 \end{pmatrix} \right] \leq C_0 \int_0^2 \int_Q |\mathbf{E}(x, t)|^2 dx dt$$

für alle Anfangsdaten  $(\mathbf{E}_0, \mathbf{H}_0)$  des ungedämpften Systems ( $\sigma = 0$ ).<sup>3</sup>

---

<sup>3</sup>Eller 2018 (*Preprint*). Siehe auch Nicaise, Pignotti 2005; Phung 2000.

- Das Maxwell-System ist **exponentiell stabil**, d.h. die Energie

$$\mathcal{E} \left[ \begin{pmatrix} \mathbf{E} \\ \mathbf{H} \end{pmatrix} \right] := \frac{1}{2} \int_Q \varepsilon(x) |\mathbf{E}(x)|^2 + \mu(x) |\mathbf{H}(x)|^2 dx$$

erfüllt mit gleichmäßigen Konstanten  $C, \beta > 0$

$$(2) \quad \mathcal{E} \left[ \begin{pmatrix} \mathbf{E}(t) \\ \mathbf{H}(t) \end{pmatrix} \right] \leq C e^{-\beta t} \mathcal{E} \left[ \begin{pmatrix} \mathbf{E}_0 \\ \mathbf{H}_0 \end{pmatrix} \right], \quad t \geq 0,$$

für alle Anfangsdaten  $(\mathbf{E}_0, \mathbf{H}_0)$ .<sup>3</sup>

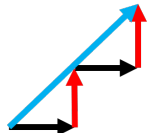
- Diskretisiere das Maxwell-System in der Zeit mit einem ADI-Verfahren (siehe unten)  $\rightsquigarrow$  zeitlich diskrete Approximationen  $(\mathbf{E}_h, \mathbf{H}_h)$ .
  - **Problem:**  $\operatorname{div}(\mu \mathbf{H}_h) \neq 0 \rightsquigarrow (2)$  scheint nicht gleichmäßig zu gelten.

---

<sup>3</sup>Eller 2018 (*Preprint*). Siehe auch Nicaise, Pignotti 2005; Phung 2000.

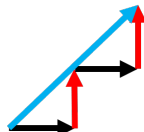
# Einführung: ADI-Verfahren für Maxwell-Gleichungen

- Alternating direction implicit (ADI) Verfahren sind effiziente Zeitintegratoren für Maxwell-Gleichungen auf Quadern.
  - **Idee:** Spalte das System in entkoppelnde Teile  $\leadsto$  löse nur 1-d Probleme implizit.
  - **Stabilität:** Implizite Teile machen das Verfahren stabil.



# Einführung: ADI-Verfahren für Maxwell-Gleichungen

- Alternating direction implicit (ADI) Verfahren sind effiziente Zeitintegratoren für Maxwell-Gleichungen auf Quadern.
  - **Idee:** Spalte das System in entkoppelnde Teile  $\leadsto$  löse nur 1-d Probleme implizit.
  - **Stabilität:** Implizite Teile machen das Verfahren stabil.
- Es gibt viele Varianten von ADI-Verfahren, z.B. Energie-erhaltende.<sup>4</sup>



---

<sup>4</sup>Chen, Li, Liang 2010.

# Einführung: ADI-Verfahren für Maxwell-Gleichungen

- **1. Schritt:** Teile  $\text{curl} = \begin{pmatrix} 0 & -\partial_3 & \partial_2 \\ \partial_3 & 0 & -\partial_1 \\ -\partial_2 & \partial_1 & 0 \end{pmatrix}$  in  $\text{curl} = C_1 - C_2$  mit

$$C_1 := \begin{pmatrix} 0 & 0 & \partial_2 \\ \partial_3 & 0 & 0 \\ 0 & \partial_1 & 0 \end{pmatrix}, \quad C_2 := \begin{pmatrix} 0 & \partial_3 & 0 \\ 0 & 0 & \partial_1 \\ \partial_2 & 0 & 0 \end{pmatrix} \quad \rightsquigarrow C_1 C_2 = \begin{pmatrix} \partial_2^2 & 0 & 0 \\ 0 & \partial_3^2 & 0 \\ 0 & 0 & \partial_1^2 \end{pmatrix}.$$

# Einführung: ADI-Verfahren für Maxwell-Gleichungen

- **1. Schritt:** Teile  $\text{curl} = \begin{pmatrix} 0 & -\partial_3 & \partial_2 \\ \partial_3 & 0 & -\partial_1 \\ -\partial_2 & \partial_1 & 0 \end{pmatrix}$  in  $\text{curl} = C_1 - C_2$  mit

$$C_1 := \begin{pmatrix} 0 & 0 & \partial_2 \\ \partial_3 & 0 & 0 \\ 0 & \partial_1 & 0 \end{pmatrix}, \quad C_2 := \begin{pmatrix} 0 & \partial_3 & 0 \\ 0 & 0 & \partial_1 \\ \partial_2 & 0 & 0 \end{pmatrix} \quad \rightsquigarrow C_1 C_2 = \begin{pmatrix} \partial_2^2 & 0 & 0 \\ 0 & \partial_3^2 & 0 \\ 0 & 0 & \partial_1^2 \end{pmatrix}.$$

- **2. Schritt:** Splitte den Maxwell-Operator

$$\begin{pmatrix} -\frac{\sigma}{\varepsilon} I & \frac{1}{\varepsilon} \text{curl} \\ -\frac{1}{\mu} \text{curl} & 0 \end{pmatrix} = \begin{pmatrix} -\frac{\sigma}{2\varepsilon} I & \frac{1}{\varepsilon} C_1 \\ \frac{1}{\mu} C_2 & 0 \end{pmatrix} + \begin{pmatrix} -\frac{\sigma}{2\varepsilon} I & -\frac{1}{\varepsilon} C_2 \\ -\frac{1}{\mu} C_1 & 0 \end{pmatrix}.$$

# Einführung: ADI-Verfahren für Maxwell-Gleichungen

- **1. Schritt:** Teile  $\text{curl} = \begin{pmatrix} 0 & -\partial_3 & \partial_2 \\ \partial_3 & 0 & -\partial_1 \\ -\partial_2 & \partial_1 & 0 \end{pmatrix}$  in  $\text{curl} = C_1 - C_2$  mit

$$C_1 := \begin{pmatrix} 0 & 0 & \partial_2 \\ \partial_3 & 0 & 0 \\ 0 & \partial_1 & 0 \end{pmatrix}, \quad C_2 := \begin{pmatrix} 0 & \partial_3 & 0 \\ 0 & 0 & \partial_1 \\ \partial_2 & 0 & 0 \end{pmatrix} \quad \rightsquigarrow C_1 C_2 = \begin{pmatrix} \partial_2^2 & 0 & 0 \\ 0 & \partial_3^2 & 0 \\ 0 & 0 & \partial_1^2 \end{pmatrix}.$$

- **2. Schritt:** Splitte den Maxwell-Operator

$$\begin{pmatrix} -\frac{\sigma}{\varepsilon} I & \frac{1}{\varepsilon} \text{curl} \\ -\frac{1}{\mu} \text{curl} & 0 \end{pmatrix} = \begin{pmatrix} -\frac{\sigma}{2\varepsilon} I & \frac{1}{\varepsilon} C_1 \\ \frac{1}{\mu} C_2 & 0 \end{pmatrix} + \begin{pmatrix} -\frac{\sigma}{2\varepsilon} I & -\frac{1}{\varepsilon} C_2 \\ -\frac{1}{\mu} C_1 & 0 \end{pmatrix}.$$

- **3. Schritt:** Integriere beide Teile getrennt. Verwende dazu im Folgenden die Mittelpunktsregel.<sup>5</sup>

---

<sup>5</sup>Chen, Li, Liang 2010.



# Einführung: ADI-Verfahren für Maxwell-Gleichungen

- **2. Schritt:** Teile den Maxwell-Operator auf

$$\begin{pmatrix} -\frac{\sigma}{\varepsilon} I & \frac{1}{\varepsilon} \text{curl} \\ -\frac{1}{\mu} \text{curl} & 0 \end{pmatrix} = \underbrace{\begin{pmatrix} -\frac{\sigma}{2\varepsilon} I & \frac{1}{\varepsilon} C_1 \\ \frac{1}{\mu} C_2 & 0 \end{pmatrix}}_{=:A} + \underbrace{\begin{pmatrix} -\frac{\sigma}{2\varepsilon} I & -\frac{1}{\varepsilon} C_2 \\ -\frac{1}{\mu} C_1 & 0 \end{pmatrix}}_{=:B}.$$

- **3. Schritt:** Integriere beide Teile getrennt. Verwende dazu im Folgenden die Mittelpunktsregel.<sup>5</sup>

---

<sup>5</sup>Chen, Li, Liang 2010.

<sup>6</sup>Eilinghoff, Jahnke, Schnaubelt 2018 (*Preprint*).

# Einführung: ADI-Verfahren für Maxwell-Gleichungen

- 2. Schritt: Teile den Maxwell-Operator auf

$$\begin{pmatrix} -\frac{\sigma}{\varepsilon} I & \frac{1}{\varepsilon} \operatorname{curl} \\ -\frac{1}{\mu} \operatorname{curl} & 0 \end{pmatrix} = \underbrace{\begin{pmatrix} -\frac{\sigma}{2\varepsilon} I & \frac{1}{\varepsilon} C_1 \\ \frac{1}{\mu} C_2 & 0 \end{pmatrix}}_{=:A} + \underbrace{\begin{pmatrix} -\frac{\sigma}{2\varepsilon} I & -\frac{1}{\varepsilon} C_2 \\ -\frac{1}{\mu} C_1 & 0 \end{pmatrix}}_{=:B}.$$

- 3. Schritt: Integriere beide Teile getrennt. Verwende dazu im Folgenden die Mittelpunktsregel.<sup>5</sup>

- Beispiele: Setze  $\begin{pmatrix} \mathbf{E}^0 \\ \mathbf{H}^0 \end{pmatrix} := \begin{pmatrix} \mathbf{E}_0 \\ \mathbf{H}_0 \end{pmatrix}$  und  $\tau > 0$ . Approximiere  $\begin{pmatrix} \mathbf{E}((n+1)\tau) \\ \mathbf{H}((n+1)\tau) \end{pmatrix}$  durch

$$\begin{pmatrix} \mathbf{E}^{n+1} \\ \mathbf{H}^{n+1} \end{pmatrix} = (I + \frac{\tau}{2} B)(I - \frac{\tau}{2} B)^{-1} (I + \frac{\tau}{2} A)(I - \frac{\tau}{2} A)^{-1} \begin{pmatrix} \mathbf{E}^n \\ \mathbf{H}^n \end{pmatrix} \quad \text{oder}$$

$$\begin{pmatrix} \mathbf{E}^{n+1} \\ \mathbf{H}^{n+1} \end{pmatrix} = (I + \frac{\tau}{4} A)(I - \frac{\tau}{4} A)^{-1} (I + \frac{\tau}{2} B)(I - \frac{\tau}{2} B)^{-1} (I + \frac{\tau}{4} A)(I - \frac{\tau}{4} A)^{-1} \begin{pmatrix} \mathbf{E}^n \\ \mathbf{H}^n \end{pmatrix}. \quad ^6$$

<sup>5</sup>Chen, Li, Liang 2010.

<sup>6</sup>Eilinghoff, Jahnke, Schnaubelt 2018 (*Preprint*).

**Ziel:** Modifiziertes ADI-Verfahren mit den folgenden Eigenschaften:

- Das Verfahren liefert gleichmäßig exponentiell stabile Approximationen.
- Der Aufwand ist ähnlich wie bei anderen ADI-Verfahren.
- Das modifizierte Verfahren konvergiert mit der gleichen Ordnung wie das ursprüngliche ADI-Verfahren.

**Ziel:** Modifiziertes ADI-Verfahren mit den folgenden Eigenschaften:

- Das Verfahren liefert gleichmäßig exponentiell stabile Approximationen.
- Der Aufwand ist ähnlich wie bei anderen ADI-Verfahren.
- Das modifizierte Verfahren konvergiert mit der gleichen Ordnung wie das ursprüngliche ADI-Verfahren.

**Basis-Verfahren:** Ein Energie-erhaltendes ADI-Verfahren der Ordnung 1.

**Ziel:** Modifiziertes ADI-Verfahren mit den folgenden Eigenschaften:

- Das Verfahren liefert gleichmäßig exponentiell stabile Approximationen.
- Der Aufwand ist ähnlich wie bei anderen ADI-Verfahren.
- Das modifizierte Verfahren konvergiert mit der gleichen Ordnung wie das ursprüngliche ADI-Verfahren.

**Basis-Verfahren:** Ein Energie-erhaltendes ADI-Verfahren der Ordnung 1.

**Wichtigstes Hilfsmittel:** Künstlich hinzugefügte viskose Dämpfung.<sup>6 7 8</sup>

---

<sup>6</sup>Tébou, Zuazua 2003, 2007. (*1d Wellengleichung*)

<sup>7</sup>Ramdani, Takahashi, Tucsna 2007. (*abstrakte Wellengleichung*)

<sup>8</sup>Ervedoza, Zuazua 2009. (*abstrakte Wellengleichung*)

- Nachteil vieler ADI-Verfahren ist die Verletzung des Gesetzes  $\operatorname{div}(\mu\mathbf{H}) = 0$  (auf einer großen Zeitskala).  $\leadsto$  unphysikalisches Verhalten

- Nachteil vieler ADI-Verfahren ist die Verletzung des Gesetzes  $\operatorname{div}(\mu\mathbf{H}) = 0$  (auf einer großen Zeitskala).  $\leadsto$  unphysikalisches Verhalten
- Abhilfe auf PDE-Level: mixed hyperbolic divergence cleaning<sup>9</sup>

$$\partial_t \mathbf{E} = \frac{1}{\varepsilon} \operatorname{curl} \mathbf{H} - \frac{\sigma}{\varepsilon} \mathbf{E} \quad \text{in } Q \times [0, \infty),$$

$$\partial_t \mathbf{H} = -\frac{1}{\mu} \operatorname{curl} \mathbf{E} - \nabla \left( \frac{1}{\mu} \Phi \right) \quad \text{in } Q \times [0, \infty),$$

$$\partial_t \Phi = -\frac{1}{\mu^2} \operatorname{div}(\mu \mathbf{H}) - \eta \Phi \quad \text{in } Q \times [0, \infty),$$

$$\mathbf{E} \times \nu = 0, \quad \mu \mathbf{H} \cdot \nu = 0 \quad \text{auf } \partial Q \times [0, \infty),$$

$$\mathbf{E}(0) = \mathbf{E}_0, \quad \mathbf{H}(0) = \mathbf{H}_0, \quad \Phi(0) = \Phi_0 \quad \text{in } Q,$$

wobei  $\Phi(x, t) \in \mathbb{R}$ ,  $\Phi_0 \in H^1(Q)$  und  $\eta \in W^{1,\infty}(Q)$  mit  $\eta \geq \delta > 0$ .

---

<sup>9</sup>Dedner et. al. 2002. (für MHD Systeme)

- Nachteil vieler ADI-Verfahren ist die Verletzung des Gesetzes  $\operatorname{div}(\mu\mathbf{H}) = 0$  (auf einer großen Zeitskala).  $\leadsto$  unphysikalisches Verhalten
- Abhilfe auf PDE-Level: mixed hyperbolic divergence cleaning<sup>9</sup>

$$\partial_t \mathbf{E} = \frac{1}{\varepsilon} \operatorname{curl} \mathbf{H} - \frac{\sigma}{\varepsilon} \mathbf{E} \quad \text{in } Q \times [0, \infty),$$

$$\partial_t \mathbf{H} = -\frac{1}{\mu} \operatorname{curl} \mathbf{E} - \nabla \left( \frac{1}{\mu} \Phi \right) \quad \text{in } Q \times [0, \infty),$$

$$\partial_t \Phi = -\frac{1}{\mu^2} \operatorname{div}(\mu \mathbf{H}) - \eta \Phi \quad \text{in } Q \times [0, \infty),$$

$$\mathbf{E} \times \nu = 0, \quad \mu \mathbf{H} \cdot \nu = 0 \quad \text{auf } \partial Q \times [0, \infty),$$

$$\mathbf{E}(0) = \mathbf{E}_0, \quad \mathbf{H}(0) = \mathbf{H}_0, \quad \Phi(0) = \Phi_0 \quad \text{in } Q,$$

wobei  $\Phi(x, t) \in \mathbb{R}$ ,  $\Phi_0 \in H^1(Q)$  und  $\eta \in W^{1,\infty}(Q)$  mit  $\eta \geq \delta > 0$ .

- Artefakt  $\operatorname{div}(\mu\mathbf{H})$  wird gedämpft.

---

<sup>9</sup>Dedner et. al. 2002. (für MHD Systeme)



- Nachteil vieler ADI-Verfahren ist die Verletzung des Gesetzes  $\operatorname{div}(\mu\mathbf{H}) = 0$  (auf einer großen Zeitskala).  $\leadsto$  unphysikalisches Verhalten
- Abhilfe auf PDE-Level: mixed hyperbolic divergence cleaning<sup>9</sup>

$$\partial_t \mathbf{E} = \frac{1}{\varepsilon} \operatorname{curl} \mathbf{H} - \frac{\sigma}{\varepsilon} \mathbf{E} \quad \text{in } Q \times [0, \infty),$$

$$\partial_t \mathbf{H} = -\frac{1}{\mu} \operatorname{curl} \mathbf{E} - \nabla \left( \frac{1}{\mu} \Phi \right) \quad \text{in } Q \times [0, \infty),$$

$$\partial_t \Phi = -\frac{1}{\mu^2} \operatorname{div}(\mu \mathbf{H}) - \eta \Phi \quad \text{in } Q \times [0, \infty),$$

$$\mathbf{E} \times \nu = 0, \quad \mu \mathbf{H} \cdot \nu = 0 \quad \text{auf } \partial Q \times [0, \infty),$$

$$\mathbf{E}(0) = \mathbf{E}_0, \quad \mathbf{H}(0) = \mathbf{H}_0, \quad \Phi(0) = \Phi_0 \quad \text{in } Q,$$

wobei  $\Phi(x, t) \in \mathbb{R}$ ,  $\Phi_0 \in H^1(Q)$  und  $\eta \in W^{1,\infty}(Q)$  mit  $\eta \geq \delta > 0$ .

- Artefakt  $\operatorname{div}(\mu\mathbf{H})$  wird gedämpft.
- Reduktion zu ursprünglichem System, wenn  $\operatorname{div}(\mu\mathbf{H}) = 0$  und  $\Phi_0 = 0$ .

<sup>9</sup>Dedner et. al. 2002. (für MHD Systeme)

# ADI-Verfahren für das ungedämpfte verallgemeinerte Maxwell-System

- **1. Schritt:** Schreibe  $\text{curl} = \begin{pmatrix} 0 & -\partial_3 & \partial_2 \\ \partial_3 & 0 & -\partial_1 \\ -\partial_2 & \partial_1 & 0 \end{pmatrix} = C_1 - C_2$ .

# ADI-Verfahren für das ungedämpfte verallgemeinerte Maxwell-System

- **1. Schritt:** Schreibe  $\text{curl} = \begin{pmatrix} 0 & -\partial_3 & \partial_2 \\ \partial_3 & 0 & -\partial_1 \\ -\partial_2 & \partial_1 & 0 \end{pmatrix} = C_1 - C_2$ .
- **2. Schritt:** Splitte den verallgemeinerten Maxwell-Operator

$$\begin{pmatrix} 0 & \frac{1}{\varepsilon} \text{curl} & 0 \\ -\frac{1}{\mu} \text{curl} & 0 & -\nabla \left( \frac{1}{\mu} \cdot \right) \\ 0 & -\frac{1}{\mu^2} \text{div}(\mu \cdot) & 0 \end{pmatrix} = A + B + D_1 + D_2 + D_3$$

$$= \begin{pmatrix} 0 & \frac{1}{\varepsilon} C_1 & 0 \\ \frac{1}{\mu} C_2 & 0 & 0 \\ 0 & 0 & 0 \end{pmatrix} + \begin{pmatrix} 0 & -\frac{1}{\varepsilon} C_2 & 0 \\ -\frac{1}{\mu} C_1 & 0 & 0 \\ 0 & 0 & 0 \end{pmatrix} + \sum_{i=1}^3 \begin{pmatrix} 0 & 0 & -\partial_i \left( \frac{1}{\mu} \cdot \right) \mathbf{e}_i \\ 0 & 0 & 0 \\ 0 & -\frac{1}{\mu^2} \partial_i(\mu \cdot) & 0 \end{pmatrix}$$

- Verteile die Randbedingungen für  $\mathbf{E}$ ,  $\mathbf{H}$  auf die Definitionsbereiche der Splitting-Operatoren.<sup>10</sup>

<sup>10</sup>Hochbruck, Jahnke, Schnaubelt 2015.

# ADI-Verfahren für das ungedämpfte verallgemeinerte Maxwell-System

- **1. Schritt:** Schreibe  $\text{curl} = \begin{pmatrix} 0 & -\partial_3 & \partial_2 \\ \partial_3 & 0 & -\partial_1 \\ -\partial_2 & \partial_1 & 0 \end{pmatrix} = C_1 - C_2$ .
- **2. Schritt:** Splitte den verallgemeinerten Maxwell-Operator

$$\begin{pmatrix} 0 & \frac{1}{\varepsilon} \text{curl} & 0 \\ -\frac{1}{\mu} \text{curl} & 0 & -\nabla \left( \frac{1}{\mu} \cdot \right) \\ 0 & -\frac{1}{\mu^2} \text{div}(\mu \cdot) & 0 \end{pmatrix} = A + B + D_1 + D_2 + D_3$$

$$= \begin{pmatrix} 0 & \frac{1}{\varepsilon} C_1 & 0 \\ \frac{1}{\mu} C_2 & 0 & 0 \\ 0 & 0 & 0 \end{pmatrix} + \begin{pmatrix} 0 & -\frac{1}{\varepsilon} C_2 & 0 \\ -\frac{1}{\mu} C_1 & 0 & 0 \\ 0 & 0 & 0 \end{pmatrix} + \sum_{i=1}^3 \begin{pmatrix} 0 & 0 & -\partial_i \left( \frac{1}{\mu} \cdot \right) \mathbf{e}_i \\ 0 & 0 & 0 \\ 0 & -\frac{1}{\mu^2} \partial_i(\mu \cdot) & 0 \end{pmatrix}$$

- **3. Schritt:** Seien  $J \in \{A, B, D_1, D_2, D_3\}$ ,  $\tau > 0$ . Wende die implizite Mittelpunktsregel an

$$T_\tau(J) := \left( I + \frac{\tau}{2} J \right) \left( I - \frac{\tau}{2} J \right)^{-1}.$$

# Konservatives ADI-Verfahren für das verallgemeinerte Maxwell-System

- Im ungedämpften Fall ( $\sigma, \eta = 0$ ) approximiert das ADI-Verfahren

$$(CS) \quad \begin{pmatrix} \mathbf{E}_c^{n+1} \\ \mathbf{H}_c^{n+1} \\ \Phi_c^{n+1} \end{pmatrix} = \prod_{i=1}^3 T_\tau(D_i) T_\tau(B) T_\tau(A) \begin{pmatrix} \mathbf{E}_c^n \\ \mathbf{H}_c^n \\ \Phi_c^n \end{pmatrix}, \quad \begin{pmatrix} \mathbf{E}_c^0 \\ \mathbf{H}_c^0 \\ \Phi_c^0 \end{pmatrix} = \begin{pmatrix} \mathbf{E}_0 \\ \mathbf{H}_0 \\ \Phi_0 \end{pmatrix}, \quad n \in \mathbb{N}_0,$$

die Lösung  $\begin{pmatrix} \mathbf{E} \\ \mathbf{H} \\ \Phi \end{pmatrix}$  des verallgemeinerten Systems (mit  $\sigma, \eta = 0$ ) in  $t = (n + 1)\tau$ .

# Konservatives ADI-Verfahren für das verallgemeinerte Maxwell-System

- Im ungedämpften Fall ( $\sigma, \eta = 0$ ) approximiert das ADI-Verfahren

$$(CS) \quad \begin{pmatrix} \mathbf{E}_c^{n+1} \\ \mathbf{H}_c^{n+1} \\ \Phi_c^{n+1} \end{pmatrix} = \prod_{i=1}^3 T_\tau(D_i) T_\tau(B) T_\tau(A) \begin{pmatrix} \mathbf{E}_c^n \\ \mathbf{H}_c^n \\ \Phi_c^n \end{pmatrix}, \quad \begin{pmatrix} \mathbf{E}_c^0 \\ \mathbf{H}_c^0 \\ \Phi_c^0 \end{pmatrix} = \begin{pmatrix} \mathbf{E}_0 \\ \mathbf{H}_0 \\ \Phi_0 \end{pmatrix}, \quad n \in \mathbb{N}_0,$$

die Lösung  $\begin{pmatrix} \mathbf{E} \\ \mathbf{H} \\ \Phi \end{pmatrix}$  des verallgemeinerten Systems (mit  $\sigma, \eta = 0$ ) in  $t = (n+1)\tau$ .

- Definiere die Energie

$$\mathcal{E} \left[ \begin{pmatrix} \mathbf{E} \\ \mathbf{H} \\ \Phi \end{pmatrix} \right] := \frac{1}{2} \int_Q \varepsilon |\mathbf{E}|^2 + \mu |\mathbf{H}|^2 + \mu \Phi^2 \, dx, \quad \begin{pmatrix} \mathbf{E} \\ \mathbf{H} \\ \Phi \end{pmatrix} \in L^2(Q)^7.$$

# Konservatives ADI-Verfahren für das verallgemeinerte Maxwell-System

- Im ungedämpften Fall ( $\sigma, \eta = 0$ ) approximiert das ADI-Verfahren

$$(CS) \quad \begin{pmatrix} \mathbf{E}_c^{n+1} \\ \mathbf{H}_c^{n+1} \\ \Phi_c^{n+1} \end{pmatrix} = \prod_{i=1}^3 T_\tau(D_i) T_\tau(B) T_\tau(A) \begin{pmatrix} \mathbf{E}_c^n \\ \mathbf{H}_c^n \\ \Phi_c^n \end{pmatrix}, \quad \begin{pmatrix} \mathbf{E}_c^0 \\ \mathbf{H}_c^0 \\ \Phi_c^0 \end{pmatrix} = \begin{pmatrix} \mathbf{E}_0 \\ \mathbf{H}_0 \\ \Phi_0 \end{pmatrix}, \quad n \in \mathbb{N}_0,$$

die Lösung  $\begin{pmatrix} \mathbf{E} \\ \mathbf{H} \\ \Phi \end{pmatrix}$  des verallgemeinerten Systems (mit  $\sigma, \eta = 0$ ) in  $t = (n+1)\tau$ .

- Definiere die Energie

$$\mathcal{E} \left[ \begin{pmatrix} \mathbf{E} \\ \mathbf{H} \\ \Phi \end{pmatrix} \right] := \frac{1}{2} \int_Q \varepsilon |\mathbf{E}|^2 + \mu |\mathbf{H}|^2 + \mu \Phi^2 \, dx, \quad \begin{pmatrix} \mathbf{E} \\ \mathbf{H} \\ \Phi \end{pmatrix} \in L^2(Q)^7.$$

- Das Verfahren (CS) erhält  $\mathcal{E}$ .

# ADI-Verfahren für das gedämpfte verallgemeinerte Maxwell-System

- **1. Schritt:** Schreibe  $\text{curl} = \begin{pmatrix} 0 & -\partial_3 & \partial_2 \\ \partial_3 & 0 & -\partial_1 \\ -\partial_2 & \partial_1 & 0 \end{pmatrix} = C_1 - C_2$ .
- **2. Schritt:** Splitte den verallgemeinerten Maxwell-Operator

$$\begin{pmatrix} -\frac{\sigma}{\varepsilon} I & \frac{1}{\varepsilon} \text{curl} & 0 \\ -\frac{1}{\mu} \text{curl} & 0 & -\nabla(\frac{1}{\mu} \cdot) \\ 0 & -\frac{1}{\mu^2} \text{div}(\mu \cdot) & -\eta I \end{pmatrix} = A + B + D_1 + D_2 + D_3 + S$$

$$= \begin{pmatrix} 0 & \frac{1}{\varepsilon} C_1 & 0 \\ \frac{1}{\mu} C_2 & 0 & 0 \\ 0 & 0 & 0 \end{pmatrix} + \begin{pmatrix} 0 & -\frac{1}{\varepsilon} C_2 & 0 \\ -\frac{1}{\mu} C_1 & 0 & 0 \\ 0 & 0 & 0 \end{pmatrix} + \sum_{i=1}^3 \begin{pmatrix} 0 & 0 & 0 \\ 0 & 0 & -\partial_i(\frac{1}{\mu} \cdot) \mathbf{e}_i \\ 0 & -\frac{1}{\mu^2} \partial_i(\mu \cdot) & 0 \end{pmatrix} + \begin{pmatrix} -\frac{\sigma}{\varepsilon} I & 0 & 0 \\ 0 & 0 & 0 \\ 0 & 0 & -\eta I \end{pmatrix}$$

- **3. Schritt:** Seien  $J \in \{A, B, D_1, D_2, D_3\}$ ,  $\tau > 0$ . Wende die implizite Mittelpunktsregel an

$$T_\tau(J) = (I + \frac{\tau}{2} J)(I - \frac{\tau}{2} J)^{-1}.$$



# ADI-Verfahren für das gedämpfte verallgemeinerte Maxwell-System

- 4. Schritt: Füge viskose Dämpfung ein

$$V_\tau(J) := \left( I - \frac{\tau^3}{4} J^2 (I - \frac{\tau^2}{4} J^2)^{-1} \right)^{-1} = (I - \frac{\tau^2}{4} J^2) (I - \frac{\tau^2 + \tau^3}{4} J^2)^{-1}$$

für  $J \in \{A, B, D_1, D_2, D_3\}$  und  $\tau > 0$ .

# ADI-Verfahren für das gedämpfte verallgemeinerte Maxwell-System

- **4. Schritt:** Füge viskose Dämpfung ein

$$V_\tau(J) := \left( I - \frac{\tau^3}{4} J^2 (I - \frac{\tau^2}{4} J^2)^{-1} \right)^{-1} = (I - \frac{\tau^2}{4} J^2) (I - \frac{\tau^2 + \tau^3}{4} J^2)^{-1}$$

für  $J \in \{A, B, D_1, D_2, D_3\}$  und  $\tau > 0$ .

- Setze  $\begin{pmatrix} \mathbf{E}^0 \\ \mathbf{H}^0 \\ \Phi^0 \end{pmatrix} := \begin{pmatrix} \mathbf{E}_0 \\ \mathbf{H}_0 \\ \Phi_0 \end{pmatrix}$ . Das ADI-Verfahren

$$\begin{pmatrix} \mathbf{E}^{n+1} \\ \mathbf{H}^{n+1} \\ \Phi^{n+1} \end{pmatrix} = (I - \tau S)^{-1} \prod_{i=1}^3 (T_\tau(D_i) V_\tau(D_i)) T_\tau(B) V_\tau(B) T_\tau(A) V_\tau(A) \begin{pmatrix} \mathbf{E}^n \\ \mathbf{H}^n \\ \Phi^n \end{pmatrix}$$

approximiert  $\begin{pmatrix} \mathbf{E} \\ \mathbf{H} \\ \Phi \end{pmatrix}$  aus dem verallgemeinerten System in  $t = (n + 1)\tau$ .

# Gleichmäßige exponentielle Stabilität

- Setze  $\begin{pmatrix} \mathbf{E}^0 \\ \mathbf{H}^0 \\ \Phi^0 \end{pmatrix} = \begin{pmatrix} \mathbf{E}_0 \\ \mathbf{H}_0 \\ \Phi_0 \end{pmatrix}$ . Betrachte erneut das ADI-Verfahren

$$\begin{pmatrix} \mathbf{E}^{n+1} \\ \mathbf{H}^{n+1} \\ \Phi^{n+1} \end{pmatrix} = (I - \tau S)^{-1} \prod_{i=1}^3 (T_\tau(D_i) V_\tau(D_i)) T_\tau(B) V_\tau(B) T_\tau(A) V_\tau(A) \begin{pmatrix} \mathbf{E}^n \\ \mathbf{H}^n \\ \Phi^n \end{pmatrix}.$$

# Gleichmäßige exponentielle Stabilität

- Setze  $\begin{pmatrix} \mathbf{E}^0 \\ \mathbf{H}^0 \\ \Phi^0 \end{pmatrix} = \begin{pmatrix} \mathbf{E}_0 \\ \mathbf{H}_0 \\ \Phi_0 \end{pmatrix}$ . Betrachte erneut das ADI-Verfahren

$$\begin{pmatrix} \mathbf{E}^{n+1} \\ \mathbf{H}^{n+1} \\ \Phi^{n+1} \end{pmatrix} = (I - \tau S)^{-1} \prod_{i=1}^3 (T_\tau(D_i) V_\tau(D_i)) T_\tau(B) V_\tau(B) T_\tau(A) V_\tau(A) \begin{pmatrix} \mathbf{E}^n \\ \mathbf{H}^n \\ \Phi^n \end{pmatrix}.$$

- Wir erinnern an die Energie

$$\mathcal{E} \left[ \begin{pmatrix} \mathbf{E} \\ \mathbf{H} \\ \Phi \end{pmatrix} \right] := \frac{1}{2} \int_Q \varepsilon |\mathbf{E}|^2 + \mu |\mathbf{H}|^2 + \mu \Phi^2 \, dx, \quad \begin{pmatrix} \mathbf{E} \\ \mathbf{H} \\ \Phi \end{pmatrix} \in L^2(Q)^7.$$

# Gleichmäßige exponentielle Stabilität

- Setze  $\begin{pmatrix} \mathbf{E}^0 \\ \mathbf{H}^0 \\ \Phi^0 \end{pmatrix} = \begin{pmatrix} \mathbf{E}_0 \\ \mathbf{H}_0 \\ \Phi_0 \end{pmatrix}$ . Betrachte erneut das ADI-Verfahren

$$\begin{pmatrix} \mathbf{E}^{n+1} \\ \mathbf{H}^{n+1} \\ \Phi^{n+1} \end{pmatrix} = (I - \tau S)^{-1} \prod_{i=1}^3 (T_\tau(D_i) V_\tau(D_i)) T_\tau(B) V_\tau(B) T_\tau(A) V_\tau(A) \begin{pmatrix} \mathbf{E}^n \\ \mathbf{H}^n \\ \Phi^n \end{pmatrix}.$$

- Wir erinnern an die Energie

$$\mathcal{E} \left[ \begin{pmatrix} \mathbf{E} \\ \mathbf{H} \\ \Phi \end{pmatrix} \right] := \frac{1}{2} \int_Q \varepsilon |\mathbf{E}|^2 + \mu |\mathbf{H}|^2 + \mu \Phi^2 \, dx, \quad \begin{pmatrix} \mathbf{E} \\ \mathbf{H} \\ \Phi \end{pmatrix} \in L^2(Q)^7.$$

## Satz

Seien  $\varepsilon, \sigma, \eta \geq \delta > 0$  in  $W^{1,\infty}(Q)$ ,  $\mu \geq \delta$  in  $W^{1,\infty}(Q) \cap W^{2,3}(Q)$ . Dann  $\exists M, \omega, \tau_0 > 0$  mit

$$\mathcal{E} \left[ \begin{pmatrix} \mathbf{E}^n \\ \mathbf{H}^n \\ \Phi^n \end{pmatrix} \right] \leq M e^{-\omega \tau n} \mathcal{E} \left[ \begin{pmatrix} \mathbf{E}^0 \\ \mathbf{H}^0 \\ \Phi^0 \end{pmatrix} \right], \quad n \in \mathbb{N}_0,$$

$$\forall \begin{pmatrix} \mathbf{E}^0 \\ \mathbf{H}^0 \\ \Phi^0 \end{pmatrix} \in L^2(Q)^7, \tau \in (0, \tau_0).$$

# Beweisskizze für exponentielle Stabilität

- Bezeichne die Zwischenschritte der Verfahren mit  $\begin{pmatrix} \mathbf{E}_c^{n,j} \\ \mathbf{H}_c^{n,j} \\ \Phi_c^{n,j} \end{pmatrix}$ , bzw.  $\begin{pmatrix} \mathbf{E}^{n,j} \\ \mathbf{H}^{n,j} \\ \Phi^{n,j} \end{pmatrix}$ .

- Bezeichne die Zwischenschritte der Verfahren mit  $\begin{pmatrix} \mathbf{E}_c^{n,j} \\ \mathbf{H}_c^{n,j} \\ \Phi_c^{n,j} \end{pmatrix}$ , bzw.  $\begin{pmatrix} \mathbf{E}^{n,j} \\ \mathbf{H}^{n,j} \\ \Phi^{n,j} \end{pmatrix}$ .

- **1. Schritt:** Energiegleichung für das gedämpfte Verfahren

$$\mathcal{E} \left[ \begin{pmatrix} \mathbf{E}^{n+1} \\ \mathbf{H}^{n+1} \\ \Phi^{n+1} \end{pmatrix} \right] - \mathcal{E} \left[ \begin{pmatrix} \mathbf{E}^n \\ \mathbf{H}^n \\ \Phi^n \end{pmatrix} \right] = -2\tau \mathcal{E} \left[ \begin{pmatrix} \sqrt{\sigma} \mathbf{E}^{n+1} \\ 0 \\ \sqrt{\eta} \Phi^{n+1} \end{pmatrix} \right] - R(\tau, \mathbf{E}^{n,j}, \mathbf{H}^{n,j}, \Phi^{n,j}) < 0$$

für  $n \in \mathbb{N}_0$  mit Restterm  $0 \leq R(\tau, \mathbf{E}^{n,j}, \mathbf{H}^{n,j}, \Phi^{n,j}) = \mathcal{O}(\tau^2)$ .

- Bezeichne die Zwischenschritte der Verfahren mit  $\begin{pmatrix} \mathbf{E}_c^{n,j} \\ \mathbf{H}_c^{n,j} \\ \Phi_c^{n,j} \end{pmatrix}$ , bzw.  $\begin{pmatrix} \mathbf{E}^{n,j} \\ \mathbf{H}^{n,j} \\ \Phi^{n,j} \end{pmatrix}$ .

- **1. Schritt:** Energiegleichung für das gedämpfte Verfahren

$$\mathcal{E} \left[ \begin{pmatrix} \mathbf{E}^{n+1} \\ \mathbf{H}^{n+1} \\ \Phi^{n+1} \end{pmatrix} \right] - \mathcal{E} \left[ \begin{pmatrix} \mathbf{E}^n \\ \mathbf{H}^n \\ \Phi^n \end{pmatrix} \right] = -2\tau \mathcal{E} \left[ \begin{pmatrix} \sqrt{\sigma} \mathbf{E}^{n+1} \\ 0 \\ \sqrt{\eta} \Phi^{n+1} \end{pmatrix} \right] - R(\tau, \mathbf{E}^{n,j}, \mathbf{H}^{n,j}, \Phi^{n,j}) < 0$$

für  $n \in \mathbb{N}_0$  mit Restterm  $0 \leq R(\tau, \mathbf{E}^{n,j}, \mathbf{H}^{n,j}, \Phi^{n,j}) = \mathcal{O}(\tau^2)$ .

- $\sqrt{R}$  verhält sich wie eine Seminorm bzgl.  $\mathbf{E}^{n,j}, \mathbf{H}^{n,j}, \Phi^{n,j}$ .



- Bezeichne die Zwischenschritte der Verfahren mit  $\begin{pmatrix} \mathbf{E}_c^{n,j} \\ \mathbf{H}^{n,j} \\ \Phi_c^{n,j} \end{pmatrix}$ , bzw.  $\begin{pmatrix} \mathbf{E}^{n,j} \\ \mathbf{H}^{n,j} \\ \Phi^{n,j} \end{pmatrix}$ .

- **1. Schritt:** Energiegleichung für das gedämpfte Verfahren

$$\mathcal{E} \left[ \begin{pmatrix} \mathbf{E}^{n+1} \\ \mathbf{H}^{n+1} \\ \Phi^{n+1} \end{pmatrix} \right] - \mathcal{E} \left[ \begin{pmatrix} \mathbf{E}^n \\ \mathbf{H}^n \\ \Phi^n \end{pmatrix} \right] = -2\tau \mathcal{E} \left[ \begin{pmatrix} \sqrt{\sigma} \mathbf{E}^{n+1} \\ 0 \\ \sqrt{\eta} \Phi^{n+1} \end{pmatrix} \right] - R(\tau, \mathbf{E}^{n,j}, \mathbf{H}^{n,j}, \Phi^{n,j}) < 0$$

für  $n \in \mathbb{N}_0$  mit Restterm  $0 \leq R(\tau, \mathbf{E}^{n,j}, \mathbf{H}^{n,j}, \Phi^{n,j}) = \mathcal{O}(\tau^2)$ .

- $\sqrt{R}$  verhält sich wie eine Seminorm bzgl.  $\mathbf{E}^{n,j}, \mathbf{H}^{n,j}, \Phi^{n,j}$ .
- **2. Schritt:** Zeige zeitl. diskrete Version der Beobachtungsungleichung

$$\int_Q (\varepsilon |\mathbf{E}_0|^2 + \mu |\mathbf{H}_0|^2) dx \leq C \int_0^2 \int_Q |\mathbf{E}|^2 dx dt,$$

*gleichmäßig* in der Diskretisierung.

- **2. Schritt:** Zeitlich diskrete Version der Beobachtungsungleichung

- **2. Schritt:** Zeitlich diskrete Version der Beobachtungsungleichung
  - Setze  $N := \max\{k \in \mathbb{N} \mid k\tau \leq 2\}$  für  $\tau > 0$ .

- **2. Schritt:** Zeitlich diskrete Version der Beobachtungsungleichung
  - Setze  $N := \max\{k \in \mathbb{N} \mid k\tau \leq 2\}$  für  $\tau > 0$ .
  - Für Regularität: Definiere (mit  $\Gamma_j = \{x \in \partial Q \mid x_j = \pm 1\}$ )

$$Y := \{(\mathbf{E}, \mathbf{H}, \Phi) \in H^1(Q)^7 \mid \mathbf{E}_j = 0 \text{ auf } \partial Q \setminus \Gamma_j, \mathbf{H}_j = 0 \text{ auf } \Gamma_j \\ \text{für } j \in \{1, 2, 3\}\}.^{11}$$

---

<sup>11</sup>Eilinghoff, Schnaubelt 2018.

- **2. Schritt:** Zeitlich diskrete Version der Beobachtungsungleichung
  - Setze  $N := \max\{k \in \mathbb{N} \mid k\tau \leq 2\}$  für  $\tau > 0$ .
  - Für Regularität: Definiere (mit  $\Gamma_j = \{x \in \partial Q \mid x_j = \pm 1\}$ )

$$Y := \{(\mathbf{E}, \mathbf{H}, \Phi) \in H^1(Q)^7 \mid \mathbf{E}_j = 0 \text{ auf } \partial Q \setminus \Gamma_j, \mathbf{H}_j = 0 \text{ auf } \Gamma_j \\ \text{für } j \in \{1, 2, 3\}\}.$$
<sup>11</sup>

## Proposition

Es gibt Konstanten  $C_0, \tau_0 > 0$  mit

$$\mathcal{E} \left[ \begin{pmatrix} \mathbf{E}^0 \\ \mathbf{H}^0 \\ \Phi^0 \end{pmatrix} \right] \leq C_0 \tau \sum_{k=1}^N \int_Q \varepsilon |\mathbf{E}_c^k|^2 + \mu |\Phi_c^k|^2 dx + C_0 \sum_{k=1}^N \check{R}(\tau, \mathbf{E}_c^{k,j}, \mathbf{H}_c^{k,j}, \Phi_c^{k,j})$$

$$\forall \begin{pmatrix} \mathbf{E}^0 \\ \mathbf{H}^0 \\ \Phi^0 \end{pmatrix} \in Y, \tau \in (0, \tau_0) \text{ und } 0 \leq \check{R}(\tau, \mathbf{E}_c^{n,j}, \mathbf{H}_c^{n,j}, \Phi_c^{n,j}) \leq R(\tau, \mathbf{E}_c^{n,j}, \mathbf{H}_c^{n,j}, \Phi_c^{n,j}).$$

<sup>11</sup>Eilinghoff, Schnaubelt 2018.

- **2. Schritt:** Zeitlich diskrete Version der Beobachtungsungleichung
  - Setze  $N := \max\{k \in \mathbb{N} \mid k\tau \leq 2\}$  für  $\tau > 0$ .
  - Für Regularität: Definiere (mit  $\Gamma_j = \{x \in \partial Q \mid x_j = \pm 1\}$ )

$$Y := \{(\mathbf{E}, \mathbf{H}, \Phi) \in H^1(Q)^7 \mid \mathbf{E}_j = 0 \text{ auf } \partial Q \setminus \Gamma_j, \mathbf{H}_j = 0 \text{ auf } \Gamma_j \\ \text{für } j \in \{1, 2, 3\}\}^{11}$$

## Proposition

Es gibt Konstanten  $C_0, \tau_0 > 0$  mit

$$\mathcal{E} \left[ \begin{pmatrix} \mathbf{E}^0 \\ \mathbf{H}^0 \\ \Phi^0 \end{pmatrix} \right] \leq C_0 \tau \sum_{k=1}^N \int_Q \varepsilon |\mathbf{E}_c^k|^2 + \mu |\Phi_c^k|^2 dx + C_0 \sum_{k=1}^N \check{R}(\tau, \mathbf{E}_c^{k,j}, \mathbf{H}_c^{k,j}, \Phi_c^{k,j})$$

$$\forall \begin{pmatrix} \mathbf{E}^0 \\ \mathbf{H}^0 \\ \Phi^0 \end{pmatrix} \in Y, \tau \in (0, \tau_0) \text{ und } 0 \leq \check{R}(\tau, \mathbf{E}_c^{n,j}, \mathbf{H}_c^{n,j}, \Phi_c^{n,j}) \leq R(\tau, \mathbf{E}_c^{n,j}, \mathbf{H}_c^{n,j}, \Phi_c^{n,j}).$$

- $\sqrt{\check{R}}$  verhält sich wie eine Seminorm bzgl.  $\mathbf{E}_c^{n,j}, \mathbf{H}_c^{n,j}, \Phi_c^{n,j}$ .

<sup>11</sup>Eilinghoff, Schnaubelt 2018.

- **3. Schritt:** Vergleich der gedämpften & ungedämpften ADI-Verfahren
  - Verwende Schritt 1 und zeige:  $\exists C = C(\varepsilon, \mu, \eta, \sigma) > 0$  mit

$$C_0 \tau \int_Q \varepsilon |\mathbf{E}^k - \mathbf{E}_c^k|^2 + \mu |\Phi^k - \Phi_c^k|^2 dx + C_0 \check{R}(\tau, \mathbf{E}^{k,j} - \mathbf{E}_c^{k,j}, \mathbf{H}^{k,j} - \mathbf{H}_c^{k,j}, \Phi^{k,j} - \Phi_c^{k,j})$$
$$\leq C \left( \mathcal{E} \left[ \begin{pmatrix} \mathbf{E}^{k-1} \\ \mathbf{H}^{k-1} \\ \Phi^{k-1} \end{pmatrix} \right] - \mathcal{E} \left[ \begin{pmatrix} \mathbf{E}^k \\ \mathbf{H}^k \\ \Phi^k \end{pmatrix} \right] \right)$$

- **3. Schritt:** Vergleich der gedämpften & ungedämpften ADI-Verfahren
  - Verwende Schritt 1 und zeige:  $\exists C = C(\varepsilon, \mu, \eta, \sigma) > 0$  mit

$$\begin{aligned} & C_0 \tau \sum_{k=1}^N \int_Q \varepsilon |\mathbf{E}^k - \mathbf{E}_c^k|^2 + \mu |\Phi^k - \Phi_c^k|^2 dx + C_0 \sum_{k=1}^N \check{R}(\tau, \mathbf{E}^{k,j} - \mathbf{E}_c^{k,j}, \mathbf{H}^{k,j} - \mathbf{H}_c^{k,j}, \Phi^{k,j} - \Phi_c^{k,j}) \\ & \leq C \sum_{k=1}^N \left( \mathcal{E} \left[ \begin{pmatrix} \mathbf{E}^{k-1} \\ \mathbf{H}^{k-1} \\ \Phi^{k-1} \end{pmatrix} \right] - \mathcal{E} \left[ \begin{pmatrix} \mathbf{E}^k \\ \mathbf{H}^k \\ \Phi^k \end{pmatrix} \right] \right) \end{aligned}$$



- **3. Schritt:** Vergleich der gedämpften & ungedämpften ADI-Verfahren
  - Verwende Schritt 1 und zeige:  $\exists C = C(\varepsilon, \mu, \eta, \sigma) > 0$  mit

$$\begin{aligned} & C_0 \tau \sum_{k=1}^N \int_Q \varepsilon |\mathbf{E}^k - \mathbf{E}_c^k|^2 + \mu |\Phi^k - \Phi_c^k|^2 dx + C_0 \sum_{k=1}^N \check{R}(\tau, \mathbf{E}^{k,j} - \mathbf{E}_c^{k,j}, \mathbf{H}^{k,j} - \mathbf{H}_c^{k,j}, \Phi^{k,j} - \Phi_c^{k,j}) \\ & \leq C \sum_{k=1}^N \left( \mathcal{E} \left[ \begin{pmatrix} \mathbf{E}^{k-1} \\ \mathbf{H}^{k-1} \\ \Phi^{k-1} \end{pmatrix} \right] - \mathcal{E} \left[ \begin{pmatrix} \mathbf{E}^k \\ \mathbf{H}^k \\ \Phi^k \end{pmatrix} \right] \right) = C \left( \mathcal{E} \left[ \begin{pmatrix} \mathbf{E}^0 \\ \mathbf{H}^0 \\ \Phi^0 \end{pmatrix} \right] - \mathcal{E} \left[ \begin{pmatrix} \mathbf{E}^N \\ \mathbf{H}^N \\ \Phi^N \end{pmatrix} \right] \right). \end{aligned}$$

## ■ 3. Schritt: Vergleich der gedämpften & ungedämpften ADI-Verfahren

- Verwende Schritt 1 und zeige:  $\exists C = C(\varepsilon, \mu, \eta, \sigma) > 0$  mit

$$\begin{aligned}
 & C_0 \tau \sum_{k=1}^N \int_Q \varepsilon |\mathbf{E}^k - \mathbf{E}_c^k|^2 + \mu |\Phi^k - \Phi_c^k|^2 dx + C_0 \sum_{k=1}^N \check{R}(\tau, \mathbf{E}^{k,j} - \mathbf{E}_c^{k,j}, \mathbf{H}^{k,j} - \mathbf{H}_c^{k,j}, \Phi^{k,j} - \Phi_c^{k,j}) \\
 & \leq C \sum_{k=1}^N \left( \mathcal{E} \left[ \begin{pmatrix} \mathbf{E}^{k-1} \\ \mathbf{H}^{k-1} \\ \Phi^{k-1} \end{pmatrix} \right] - \mathcal{E} \left[ \begin{pmatrix} \mathbf{E}^k \\ \mathbf{H}^k \\ \Phi^k \end{pmatrix} \right] \right) = C \left( \mathcal{E} \left[ \begin{pmatrix} \mathbf{E}^0 \\ \mathbf{H}^0 \\ \Phi^0 \end{pmatrix} \right] - \mathcal{E} \left[ \begin{pmatrix} \mathbf{E}^N \\ \mathbf{H}^N \\ \Phi^N \end{pmatrix} \right] \right).
 \end{aligned}$$

- Benutze die Beobachtungsungleichung und die Energiegleichung

$$\mathcal{E} \left[ \begin{pmatrix} \mathbf{E}^0 \\ \mathbf{H}^0 \\ \Phi^0 \end{pmatrix} \right] \leq C_0 \tau \sum_{k=1}^N \int_Q \varepsilon |\mathbf{E}_c^k|^2 + \mu |\Phi_c^k|^2 dx + C_0 \sum_{k=1}^N \check{R}(\tau, \mathbf{E}_c^{k,j}, \mathbf{H}_c^{k,j}, \Phi_c^{k,j}),$$

$$\mathcal{E} \left[ \begin{pmatrix} \mathbf{E}^{n+1} \\ \mathbf{H}^{n+1} \\ \Phi^{n+1} \end{pmatrix} \right] - \mathcal{E} \left[ \begin{pmatrix} \mathbf{E}^n \\ \mathbf{H}^n \\ \Phi^n \end{pmatrix} \right] = -2\tau \mathcal{E} \left[ \begin{pmatrix} \sqrt{\sigma} \mathbf{E}^{n+1} \\ 0 \\ \sqrt{\eta} \Phi^{n+1} \end{pmatrix} \right] - R(\tau, \mathbf{E}^{n,j}, \mathbf{H}^{n,j}, \Phi^{n,j}) < 0$$

## ■ 3. Schritt: Vergleich der gedämpften & ungedämpften ADI-Verfahren

- Verwende Schritt 1 und zeige:  $\exists C = C(\varepsilon, \mu, \eta, \sigma) > 0$  mit

$$\begin{aligned}
 & C_0 \tau \sum_{k=1}^N \int_Q \varepsilon |\mathbf{E}^k - \mathbf{E}_c^k|^2 + \mu |\Phi^k - \Phi_c^k|^2 dx + C_0 \sum_{k=1}^N \check{R}(\tau, \mathbf{E}^{k,j} - \mathbf{E}_c^{k,j}, \mathbf{H}^{k,j} - \mathbf{H}_c^{k,j}, \Phi^{k,j} - \Phi_c^{k,j}) \\
 & \leq C \sum_{k=1}^N \left( \mathcal{E} \left[ \begin{pmatrix} \mathbf{E}^{k-1} \\ \mathbf{H}^{k-1} \\ \Phi^{k-1} \end{pmatrix} \right] - \mathcal{E} \left[ \begin{pmatrix} \mathbf{E}^k \\ \mathbf{H}^k \\ \Phi^k \end{pmatrix} \right] \right) = C \left( \mathcal{E} \left[ \begin{pmatrix} \mathbf{E}^0 \\ \mathbf{H}^0 \\ \Phi^0 \end{pmatrix} \right] - \mathcal{E} \left[ \begin{pmatrix} \mathbf{E}^N \\ \mathbf{H}^N \\ \Phi^N \end{pmatrix} \right] \right).
 \end{aligned}$$

- Benutze die Beobachtungsungleichung und die Energiegleichung

$$\begin{aligned}
 \mathcal{E} \left[ \begin{pmatrix} \mathbf{E}^0 \\ \mathbf{H}^0 \\ \Phi^0 \end{pmatrix} \right] & \leq C_0 \tau \sum_{k=1}^N \int_Q \varepsilon |\mathbf{E}^k|^2 + \mu |\Phi^k|^2 dx + C_0 \sum_{k=1}^N R(\tau, \mathbf{E}^{k,j}, \mathbf{H}^{k,j}, \Phi^{k,j}) \\
 & \quad + C \left( \mathcal{E} \left[ \begin{pmatrix} \mathbf{E}^0 \\ \mathbf{H}^0 \\ \Phi^0 \end{pmatrix} \right] - \mathcal{E} \left[ \begin{pmatrix} \mathbf{E}^N \\ \mathbf{H}^N \\ \Phi^N \end{pmatrix} \right] \right)
 \end{aligned}$$

## ■ 3. Schritt: Vergleich der gedämpften & ungedämpften ADI-Verfahren

- Verwende Schritt 1 und zeige:  $\exists C = C(\varepsilon, \mu, \eta, \sigma) > 0$  mit

$$\begin{aligned}
 & C_0 \tau \sum_{k=1}^N \int_Q \varepsilon |\mathbf{E}^k - \mathbf{E}_c^k|^2 + \mu |\Phi^k - \Phi_c^k|^2 dx + C_0 \sum_{k=1}^N \check{R}(\tau, \mathbf{E}^{k,j} - \mathbf{E}_c^{k,j}, \mathbf{H}^{k,j} - \mathbf{H}_c^{k,j}, \Phi^{k,j} - \Phi_c^{k,j}) \\
 & \leq C \sum_{k=1}^N \left( \mathcal{E} \left[ \begin{pmatrix} \mathbf{E}^{k-1} \\ \mathbf{H}^{k-1} \\ \Phi^{k-1} \end{pmatrix} \right] - \mathcal{E} \left[ \begin{pmatrix} \mathbf{E}^k \\ \mathbf{H}^k \\ \Phi^k \end{pmatrix} \right] \right) = C \left( \mathcal{E} \left[ \begin{pmatrix} \mathbf{E}^0 \\ \mathbf{H}^0 \\ \Phi^0 \end{pmatrix} \right] - \mathcal{E} \left[ \begin{pmatrix} \mathbf{E}^N \\ \mathbf{H}^N \\ \Phi^N \end{pmatrix} \right] \right).
 \end{aligned}$$

- Benutze die Beobachtungsungleichung und die Energiegleichung

$$\begin{aligned}
 \mathcal{E} \left[ \begin{pmatrix} \mathbf{E}^0 \\ \mathbf{H}^0 \\ \Phi^0 \end{pmatrix} \right] & \leq C_0 \tau \sum_{k=1}^N \int_Q \varepsilon |\mathbf{E}^k|^2 + \mu |\Phi^k|^2 dx + C_0 \sum_{k=1}^N R(\tau, \mathbf{E}^{k,j}, \mathbf{H}^{k,j}, \Phi^{k,j}) \\
 & \quad + C \left( \mathcal{E} \left[ \begin{pmatrix} \mathbf{E}^0 \\ \mathbf{H}^0 \\ \Phi^0 \end{pmatrix} \right] - \mathcal{E} \left[ \begin{pmatrix} \mathbf{E}^N \\ \mathbf{H}^N \\ \Phi^N \end{pmatrix} \right] \right) \\
 & \leq C \left( \mathcal{E} \left[ \begin{pmatrix} \mathbf{E}^0 \\ \mathbf{H}^0 \\ \Phi^0 \end{pmatrix} \right] - \mathcal{E} \left[ \begin{pmatrix} \mathbf{E}^N \\ \mathbf{H}^N \\ \Phi^N \end{pmatrix} \right] \right).
 \end{aligned}$$

- **3. Schritt:** Vergleich der gedämpften & ungedämpften ADI-Verfahren
  - Schritte 1&2 liefern

$$\mathcal{E} \left[ \begin{pmatrix} \mathbf{E}^0 \\ \mathbf{H}^0 \\ \Phi^0 \end{pmatrix} \right] \leq C \left( \mathcal{E} \left[ \begin{pmatrix} \mathbf{E}^0 \\ \mathbf{H}^0 \\ \Phi^0 \end{pmatrix} \right] - \mathcal{E} \left[ \begin{pmatrix} \mathbf{E}^N \\ \mathbf{H}^N \\ \Phi^N \end{pmatrix} \right] \right).$$

- **3. Schritt:** Vergleich der gedämpften & ungedämpften ADI-Verfahren
  - Schritte 1&2 liefern

$$\mathcal{E} \left[ \begin{pmatrix} \mathbf{E}^0 \\ \mathbf{H}^0 \\ \Phi^0 \end{pmatrix} \right] \leq C \left( \mathcal{E} \left[ \begin{pmatrix} \mathbf{E}^0 \\ \mathbf{H}^0 \\ \Phi^0 \end{pmatrix} \right] - \mathcal{E} \left[ \begin{pmatrix} \mathbf{E}^N \\ \mathbf{H}^N \\ \Phi^N \end{pmatrix} \right] \right).$$

- **4. Schritt:** Erhalte die Abschätzung

$$\mathcal{E} \left[ \begin{pmatrix} \mathbf{E}^N \\ \mathbf{H}^N \\ \Phi^N \end{pmatrix} \right] \leq \left(1 - \frac{1}{C}\right) \mathcal{E} \left[ \begin{pmatrix} \mathbf{E}^0 \\ \mathbf{H}^0 \\ \Phi^0 \end{pmatrix} \right]$$

- **3. Schritt:** Vergleich der gedämpften & ungedämpften ADI-Verfahren
  - Schritte 1&2 liefern

$$\mathcal{E} \left[ \begin{pmatrix} \mathbf{E}^0 \\ \mathbf{H}^0 \\ \Phi^0 \end{pmatrix} \right] \leq C \left( \mathcal{E} \left[ \begin{pmatrix} \mathbf{E}^0 \\ \mathbf{H}^0 \\ \Phi^0 \end{pmatrix} \right] - \mathcal{E} \left[ \begin{pmatrix} \mathbf{E}^N \\ \mathbf{H}^N \\ \Phi^N \end{pmatrix} \right] \right).$$

- **4. Schritt:** Erhalte die Abschätzung

$$\mathcal{E} \left[ \begin{pmatrix} \mathbf{E}^N \\ \mathbf{H}^N \\ \Phi^N \end{pmatrix} \right] \leq \left(1 - \frac{1}{C}\right) \mathcal{E} \left[ \begin{pmatrix} \mathbf{E}^0 \\ \mathbf{H}^0 \\ \Phi^0 \end{pmatrix} \right] = e^{-2\omega} \mathcal{E} \left[ \begin{pmatrix} \mathbf{E}^0 \\ \mathbf{H}^0 \\ \Phi^0 \end{pmatrix} \right]$$

für ein festes  $\omega > 0$

- **3. Schritt:** Vergleich der gedämpften & ungedämpften ADI-Verfahren
  - Schritte 1&2 liefern

$$\mathcal{E} \left[ \begin{pmatrix} \mathbf{E}^0 \\ \mathbf{H}^0 \\ \Phi^0 \end{pmatrix} \right] \leq C \left( \mathcal{E} \left[ \begin{pmatrix} \mathbf{E}^0 \\ \mathbf{H}^0 \\ \Phi^0 \end{pmatrix} \right] - \mathcal{E} \left[ \begin{pmatrix} \mathbf{E}^N \\ \mathbf{H}^N \\ \Phi^N \end{pmatrix} \right] \right).$$

- **4. Schritt:** Erhalte die Abschätzung

$$\mathcal{E} \left[ \begin{pmatrix} \mathbf{E}^N \\ \mathbf{H}^N \\ \Phi^N \end{pmatrix} \right] \leq \left(1 - \frac{1}{C}\right) \mathcal{E} \left[ \begin{pmatrix} \mathbf{E}^0 \\ \mathbf{H}^0 \\ \Phi^0 \end{pmatrix} \right] = e^{-2\omega} \mathcal{E} \left[ \begin{pmatrix} \mathbf{E}^0 \\ \mathbf{H}^0 \\ \Phi^0 \end{pmatrix} \right] = e^{-\omega N\tau} \mathcal{E} \left[ \begin{pmatrix} \mathbf{E}^0 \\ \mathbf{H}^0 \\ \Phi^0 \end{pmatrix} \right]$$

für ein festes  $\omega > 0$  und iteriere.



# Konvergenzresultat in $H^{-1}$

- Verwende die Räume (mit  $\Gamma_j = \{x \in \partial Q \mid x_j = \pm 1\}$ )

$$Y = \{(\mathbf{E}, \mathbf{H}, \Phi) \in H^1(Q)^7 \mid \mathbf{E}_j = 0 \text{ auf } \partial Q \setminus \Gamma_j, \mathbf{H}_j = 0 \text{ auf } \Gamma_j \\ \text{für } j \in \{1, 2, 3\}\},^{12}$$

$$X_1 := \{(\mathbf{E}, \mathbf{H}, \Phi) \in H^1(Q)^7 \mid \mathbf{E} \times \nu = 0 \text{ auf } \partial Q, \operatorname{div}(\mu \mathbf{H}) = 0, \\ \mathbf{H} \cdot \nu = 0 \text{ auf } \partial Q, \Phi = 0\}.$$

---

<sup>12</sup>Eilinghoff, Schnaubelt 2018.

# Konvergenzresultat in $H^{-1}$

- Verwende die Räume (mit  $\Gamma_j = \{x \in \partial Q \mid x_j = \pm 1\}$ )

$$Y = \{(\mathbf{E}, \mathbf{H}, \Phi) \in H^1(Q)^7 \mid \mathbf{E}_j = 0 \text{ auf } \partial Q \setminus \Gamma_j, \mathbf{H}_j = 0 \text{ auf } \Gamma_j \\ \text{für } j \in \{1, 2, 3\}\},^{12}$$

$$X_1 := \{(\mathbf{E}, \mathbf{H}, \Phi) \in H^1(Q)^7 \mid \mathbf{E} \times \nu = 0 \text{ auf } \partial Q, \operatorname{div}(\mu \mathbf{H}) = 0, \\ \mathbf{H} \cdot \nu = 0 \text{ auf } \partial Q, \Phi = 0\}.$$

## Satz

Seien  $\varepsilon, \sigma, \eta \geq \delta > 0$  in  $W^{1,\infty}(Q)$ ,  $\mu \geq \delta$  in  $W^{1,\infty}(Q) \cap W^{2,3}(Q)$  und  $T > 0$ . Dann  $\exists C, \check{\tau}_0 > 0$  mit

$$\left| \left( \begin{pmatrix} \mathbf{E}^n \\ \mathbf{H}^n \\ \Phi^n \end{pmatrix} - \begin{pmatrix} \mathbf{E}(n\tau) \\ \mathbf{H}(n\tau) \\ \Phi(n\tau) \end{pmatrix}, y \right)_{L^2} \right| \leq C_T (1+T) T e^{CT} \left\| \begin{pmatrix} \mathbf{E}_0 \\ \mathbf{H}_0 \\ \Phi_0 \end{pmatrix} \right\|_{H^1} \|y\|_{H^1}$$

$$\forall y \in Y, \begin{pmatrix} \mathbf{E}_0 \\ \mathbf{H}_0 \\ \Phi_0 \end{pmatrix} \in X_1, n \in \mathbb{N}_0 \text{ mit } n\tau \leq T \text{ und } \tau \in (0, \check{\tau}_0).$$

<sup>12</sup>Eilinghoff, Schnaubelt 2018.

- Lineare isotrope Maxwell-Gleichungen unter Einfluss des Ohmschen Gesetzes sind gleichmäßig exponentiell stabil.
- Modifikation eines konservativen ADI-Verfahrens durch künstliche Dämpfung  
~> zeitlich diskrete Approximationen mit gleichmäßig exponentiellem Abfall.
- Das modifizierte Verfahren konvergiert mit Ordnung 1 in  $H^{-1}$ .

$$\begin{aligned}\partial_t \mathbf{E} &= \frac{1}{\epsilon} \operatorname{curl} \mathbf{H} - \frac{\sigma}{\epsilon} \mathbf{E}, \\ \partial_t \mathbf{H} &= -\frac{1}{\mu} \operatorname{curl} \mathbf{E}, \\ \operatorname{div}(\mu \mathbf{H}) &= 0.\end{aligned}$$

- Chen, W., Li, X. and Liang, D.: Energy-conserved splitting finite-difference time-domain methods for Maxwell's equations in three dimensions. *SIAM J. Numer. Anal.* 48 (4) (2010), 1530–1554.
- Dedner, A., Kemm, F., Kröner, D., Munz, C.-D., Schnitzer, T. and Wesenberg, M.: Hyperbolic divergence cleaning for the MHD equations. *J. Comput. Phys.* 175 (2) (2002), 645–673.
- Eilinghoff, J., Jahnke, T. and Schnaubelt, R.: Error analysis of an energy preserving ADI splitting scheme for the Maxwell equation. Preprint 2018/12 of CRC 1173. See [www.waves.kit.edu/downloads/CRC1173\\_Preprint\\_2018-12.pdf](http://www.waves.kit.edu/downloads/CRC1173_Preprint_2018-12.pdf)
- Eilinghoff, J. and Schnaubelt, R.: Error analysis of an ADI splitting scheme for the inhomogeneous Maxwell equations. *Discrete Contin. Dyn. Syst - A* 38 (11) (2018), 5685–5709.
- Eller, M.: Stability of the anisotropic Maxwell equations with a conductivity term. Preprint 2018.
- Ervedoza, S. and Zuazua, E.: Uniformly exponentially stable approximations for a class of damped systems. *J. Math. Pures Appl.* 91 (2009), 20–48.
- Hochbruck, M., Jahnke, T. and Schnaubelt, R.: Convergence of an ADI splitting for Maxwell's equations. *Numer. Math.* 129 (2015), 535–561.

- Nicaise, S. and Pignotti, C.: Internal stabilization of Maxwell's equations in heterogeneous media. *Abstr. Appl. Anal.* 7 (2005), 791–811.
- Phung, K.: Contrôle et stabilisation d'ondes électromagnétiques. *ESAIM COCV* 5 (2000), 87–137.
- Ramdani, K., Takahashi, T. and Tucsnak, M.: Uniformly exponentially stable approximations for a class of second order evolution equations. *ESAIM COCV* 13 (3) (2007), 503–527.
- Tébou, L. and Zuazua, E.: Uniform exponential long time decay for the space semi-discretization of a locally damped wave equation via an artificial numerical viscosity. *Numer. Math.* 95 (2003), 563–598.
- Tébou, L. and Zuazua, E.: Uniform boundary stabilization of the finite difference space discretization of the 1-d wave equation. *Adv. Comput. Math.* 26 (2007), 337–365.
- Zhang, X., Zheng, C. and Zuazua, E.: Time discrete wave equations: boundary observability and control. *Discr. Cont. Dyn. Sys.* 23 (1/2) (2009), 571–604.